

### **3.2.4 Свободные колебания в электрическом контуре**

**Ивакин Кирилл Б01-907**

**Цель работы:** исследование свободных колебаний в электрическом колебательном контуре.

**В работе используется:** генератор импульсов, электронное реле, магазин сопротивлений, магазин ёмкостей, катушка индуктивности, электронный осциллограф, универсальный измерительный мост.

## 1 Теория

В работе исследуются свободные колебания в  $RLC$ -контуре.

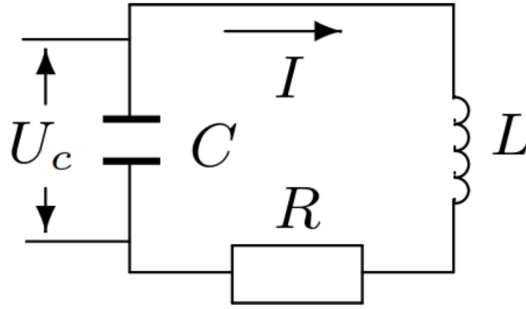


Рис. 1: Колебательный контур

Сумма падений напряжения на элементах цепи в отсутствие внешней ЭДС равна нулю:

$$RI + U_C + L \frac{dI}{dt} = 0 \quad (1)$$

Подставим в это уравнение следующие выражения для  $I$  и  $\frac{dI}{dt}$ :

$$I = \frac{dq}{dt} = C \frac{dU_C}{dt}, U_L = L \frac{dI}{dt} \quad (2)$$

Уравнение для напряжения на конденсаторе  $U$  в колебательном контуре примет вид:

$$\ddot{U}_C + 2\gamma \dot{U}_C + \omega_0^2 U_C = 0 \quad (3)$$

Где  $\gamma = \frac{R}{2L}$  - коэффициент затухания;  $\omega_0^2 = \frac{1}{LC}$  - собственная частота колебательного контура. Введем также период собственных колебаний:

$$T_0 = \frac{2\pi}{\omega_0} = 2\pi\sqrt{LC} \quad (4)$$

Для решения уравнения (3) введём вспомогательную переменную  $U(t)$ , положив

$$U_C(t) = U(t)e^{-\gamma t} \quad (5)$$

При этом из (3) получаем уравнение

$$\ddot{U} + \omega_1^2 U = 0 \quad (6)$$

где

$$\omega_1^2 = \omega_0^2 - \gamma^2 \quad (7)$$

### 1.1 Разные случаи колебаний

В зависимости от значения  $\omega_1$  выделяют 3 вида колебаний:

1.  $\omega_1 > 0$  - затухающие колебания:  $U(t) = U_0 e^{-\gamma t} \cos(\omega_1 t + \phi_0)$
2.  $\omega_1 = 0$  - Критический режим:  $U(t) = e^{-\gamma t} (C_1 + C_2 \cdot t)$
3.  $\omega_1 < 0$  - Аперiodические колебания:  $U(t) = e^{-\gamma t} (C_1 e^{\alpha t} + C_2 e^{-\alpha t})$

## 1.2 Затухающие колебания

Затухающие колебания имеют место в рассматриваемом  $LCR$ -контуре при:

$$0 < R < 2\sqrt{\frac{L}{C}} = R_{\text{кр}} \quad (8)$$

$R_{\text{кр}} = 2\sqrt{\frac{L}{C}}$  - сопротивление, при котором еще существует критический режим. Большие сопротивления порождают апериодические колебания.

Период затухающих колебаний:

$$T_1 = \frac{2\pi}{\omega_1} = \frac{T_0}{\sqrt{1 - \frac{\gamma^2}{\omega_0^2}}} \quad (9)$$

Так же вводится логарифмический декремент затухания:

$$\Theta = \frac{1}{n} \ln \frac{U_k}{U_{k+n}} = \gamma T_1 \quad (10)$$

где индексы показывают номер колебания, а  $U_k$  - максимальное напряжение в  $k$ -ом колебании.

Добротность контура:

$$Q = \frac{\pi}{\theta} = \frac{1}{2} \sqrt{\frac{\omega_0^2}{\gamma^2} - 1} \approx \frac{\omega_0}{2\gamma} \quad (11)$$

Колебательные системы со слабым затуханием обладают большой добротностью.

## 1.3 Критический режим

В этом случае параметры контура связаны соотношением:

$$R = R_{\text{кр}} = 2\sqrt{\frac{L}{C}}, \quad (12)$$

а уравнение колебаний и его решение принимают вид:

$$\ddot{U} = 0, U(t) = a_1 + a_2 t \quad (13)$$

Соответственно, напряжение на конденсаторе:

$$U_C(t) = (a_1 + a_2 t)e^{-\gamma t}, \quad (14)$$

где константы  $a_1$  и  $a_2$  определяются из начальных условий.

## 1.4 Апериодический режим ( $\gamma > \omega_0$ )

В этом режиме  $\omega_1^2 = \omega_0^2 - \gamma^2 < 0$ , так что для описания системы удобно использовать гиперболические функции. Введем вместо мнимой  $\omega_1$  действительную величину:

$$\alpha = \sqrt{\gamma^2 - \omega_0^2} = \omega_0 \sqrt{\frac{R^2}{R_{\text{кр}}^2} - 1} \quad (15)$$

С помощью подстановки нетрудно убедиться, что общее решение уравнения колебаний это  $U_C(t) = e^{-\gamma t}(b_1 e^{\alpha t} + b_2 e^{-\alpha t})$ . Соответственно, напряжение на конденсаторе:

$$U_C(t) = U_{C0} e^{-\gamma t} (b_1 e^{\alpha t} + b_2 e^{-\alpha t}) \quad (16)$$

При начальных условиях  $U_C(0) = U_{C0}, I(0) = 0$ :

$$U_C(t) = U_{C0} e^{-\gamma t} [\cosh \alpha t + \frac{\gamma}{\alpha \sinh \alpha t}], \quad (17)$$

$$I(t) = -\frac{U_{C0}}{\rho} \frac{\omega_0}{\alpha} e^{-\gamma t} \sinh \alpha t \quad (18)$$

## 1.5 Фазовые траектории

Заметим, что уравнение затухающих колебаний может быть переписано так:

$$U(t) = U_0 e^{-\gamma t} \cos(\omega_1 t + \phi_0) \Rightarrow U(t) = e^{-\gamma t} (a \cos(\omega_1 t) + b \sin(\omega_1 t)) \quad (19)$$

Где  $a = U_0 \cos(\phi_0)$ ,  $b = -U_0 \sin(\phi_0)$ . Итого:

$$\begin{cases} U(t) = U_0 e^{-\gamma t} (\cos(\omega_1 t) + \frac{\gamma}{\omega_1} \sin(\omega_1 t)) \\ I(t) = -\frac{U_0 \omega_0}{\rho \omega_1} e^{-\gamma t} \sin(\omega_1 t) \end{cases}$$

Из системы следует параметрическое представлений траектории системы на фазовой плоскости переменных  $(U, I)$ .

## 1.6 МНК

Для аппроксимации линейной зависимости в лабораторной работе используется метод наименьших квадратов. Применение метода обосновано при условии:

1. измерения независимы.
2. все погрешности в основном случайны и распределены нормально.
3. погрешность по  $x$  мала.
4. погрешность по  $y$  одинакова.

Прямая  $y = kx + b$ :

$$k = \frac{D_{xy}}{D_{xx}}, \quad b = \langle y \rangle - k \langle x \rangle \quad (20)$$

где обозначено

$$D_{xy} = \langle xy \rangle - \langle x \rangle \langle y \rangle, \quad D_{xx} = \langle x^2 \rangle - \langle x \rangle^2 \quad (21)$$

погрешность аппроксимации:

$$\sigma_k = \sqrt{\frac{1}{n-2} \left( \frac{D_{yy}}{D_{xx}} - k^2 \right)}, \quad \sigma_b = \sigma_k \sqrt{\langle x^2 \rangle} \quad (22)$$

Прямая  $y = kx$ :

$$k = \frac{\langle xy \rangle}{\langle x^2 \rangle} \quad (23)$$

погрешность аппроксимации:

$$\sigma_k = \sqrt{\frac{1}{n-1} \left( \frac{\langle y^2 \rangle}{\langle x^2 \rangle} - k^2 \right)} \quad (24)$$

## 2 Оборудование

Класс точности магазина сопротивлений: 0.2, класс точности магазина ёмкостей: 0.1.

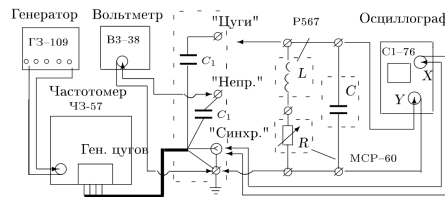


Рис. 2: Экспериментальная установка

На рисунке приведена схема установки. Установка содержит постоянную индуктивность  $L$  с активным сопротивлением  $R_L$ , а также переменные сопротивление  $R$  и ёмкость  $C$ . Картина колебаний

$\nu$ , Гц	$L$ , Гн	$R$ , Ом
50	203.5	11.807
1000	199.0	19.480
5000	199.5	42.600

Таблица 1: Параметры установки

наблюдается на экране двухканального осциллографа. Для переодического возбуждения колебаний в контуре используется генератор импульсов.

Отсюда видно, что индуктивность примерно не меняется, а сопротивление катушки зависит от частоты. Это объясняется наличием переменного тока. В дальнейшем используем  $L = 200$  Гн,  $R = 42.6$  Ом.

## 3 Ход работы

### 3.1 Измерение периодов

Установим  $R = 0$ . Измерим период колебаний контура при разных  $C$ , используя формулу:

$$T = \frac{T_0 x}{n x_0} \quad (25)$$

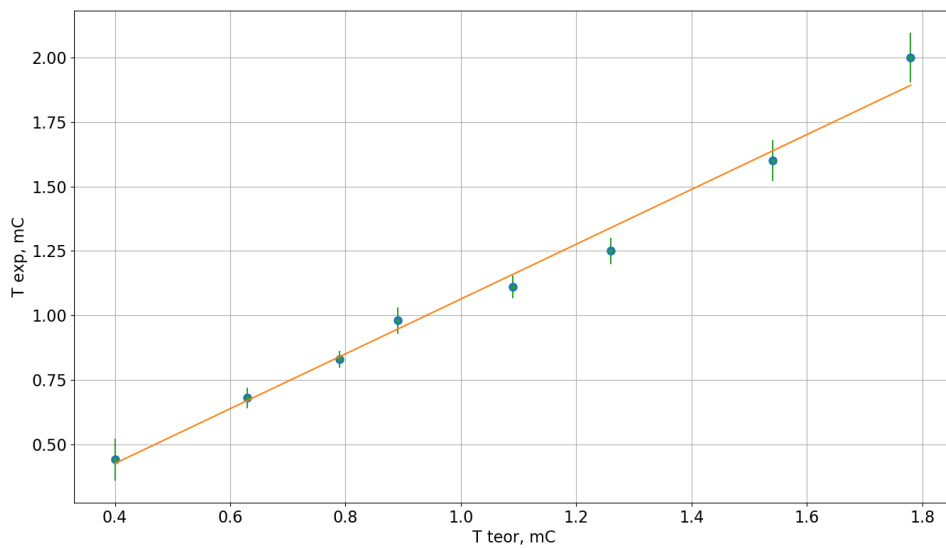
Где  $T_0 = 0,01$ с - длина периода;  $x$  - расстояние, которое занимает  $n$  периодов;  $x_0$  - расстояние между импульсами на экране при  $C = 0,02$ мкФ. Также посчитаем теоретическое время, используя формулу колебания (4).

$T$ теор, мс	0.40	0.63	0.79	0.89	1.09	1.26	1.54	1.78
$T$ прак, мс	0.44	0.68	0.83	0.98	1.11	1.25	1.60	2.0
$C$ , мкФ	0.02	0.05	0.08	0.1	0.15	0.2	0.3	0.4

Таблица 2: Данные 1 эксперимента

Построим график  $T_{exp}(T_{teor})$ . Для этого воспользуемся методом наименьших квадратов.

$$k = 1.082 \quad \sigma_k = 0.027 \quad \epsilon_k = 2.7\% \quad (26)$$



С учётом погрешности экспериментальные данные совпадают с теоритическими.

### 3.2 Критическое сопротивление и декремент затухания

Рассчитаем  $C$  и  $R_{кр}$ , при которых собственная частота контура = 5КГц. Измерим  $R_{кр}^{эксп}$  увеличивая  $R$ , пока колебания не станут апериодическими.

$$R_{кр} = 12560 \text{ Ом} \quad C = 5.06 \text{ нФ} \quad R_{кр}^{эксп} = 10000 \text{ Ом} \quad (27)$$

Для  $R = (0.1 - 0.3)R_{кр}$  будем искать  $\theta$  по формуле:

$$\Theta = \frac{1}{n} \ln \frac{U_k}{U_{k+n}} = \gamma T_1 \quad (28)$$

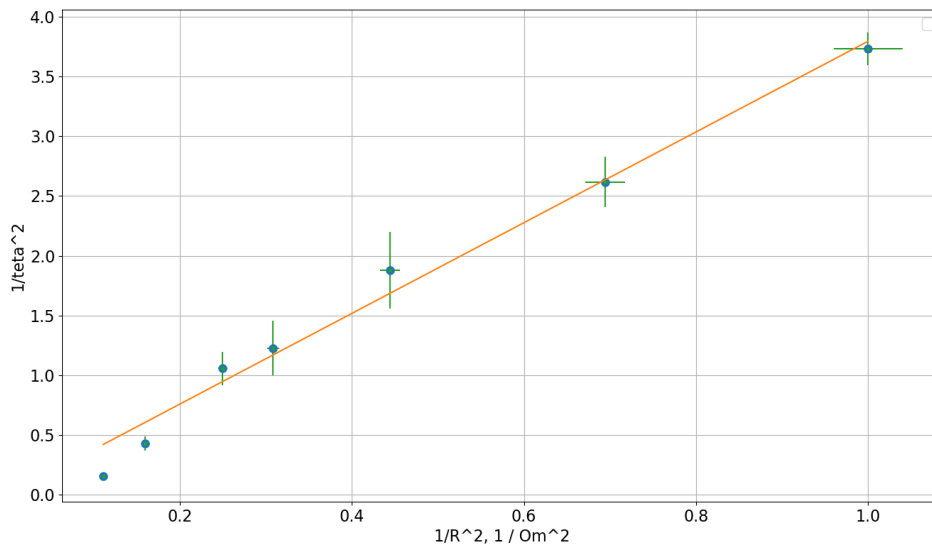
Занесем все данные в таблицу.

$\theta$	$n$	$U(k)$ , дел	$U(k+n)$ , дел	$R$ , кОм
0.52	3	8.50	1.80	1.00
0.62	5	8.80	0.40	1.20
0.73	4	3.70	0.20	1.50
0.90	3	3.00	0.20	1.80
0.97	2	2.80	0.40	2.00
1.53	1	2.30	0.50	2.50
2.55	1	3.20	0.25	3.00

Таблица 3: Данные 2 эксперимента

Построим график  $\frac{1}{\theta^2} \left( \frac{1}{R^2} \right)$  с помощью МНК, где  $R$  - полное сопротивление цепи, которое просто равно сопротивлению магазина сопротивлений. Сопротивлением катушки можно пренебречь, так как ее  $R \ll R_{\text{магазин\_сопротивлений}}$ .

$$k = 3.35 \quad \sigma_k = 0.93 \quad \epsilon_k = 9.2\% \quad (29)$$



Найдем  $R_{кр}$  по графику и сравним с теоретическим значением. Из теории следует:

$$\frac{1}{\theta^2} = \frac{R_{кр}^2}{4\pi^2} \frac{1}{R^2} - \frac{1}{4\pi^2} \Rightarrow R_{кр} = 2\pi \sqrt{\frac{\Delta \frac{1}{\theta^2}}{\Delta \frac{1}{R^2}}} = 11494 \text{ Ом} \quad (30)$$

$$\sigma_{R_{кр}} = R_{кр} \sqrt{\left( \frac{\sigma_k}{2k} \right)^2} = 1578 \text{ Ом} \quad \epsilon_{R_{кр}} = 12.5\% \quad (31)$$

С учётом погрешности значение совпадает с теоретическим.

Рассчитаем добротность для максимального и минимального значений  $\Theta$  и сравним данные с теоретическим значением  $Q$ .

$$Q_{\Theta} = \frac{\pi}{\Theta} \quad Q_{Theory} = \frac{1}{2} \sqrt{\frac{R_{кр}^2}{R^2} - 1} \quad (32)$$

для минимальной  $\theta$

$$Q_{\Theta} = 6.2 \pm 0.2 \quad Q_{Theory} = 6.3 \quad \sigma_Q = 1.5\% \quad (33)$$

для  $\theta$  с  $R = 2000 \text{ Ом}$

$$Q_{\Theta} = 3.2 \pm 0.4 \quad Q_{Theory} = 2.4 \quad \sigma_Q = 33.3\% \quad (34)$$

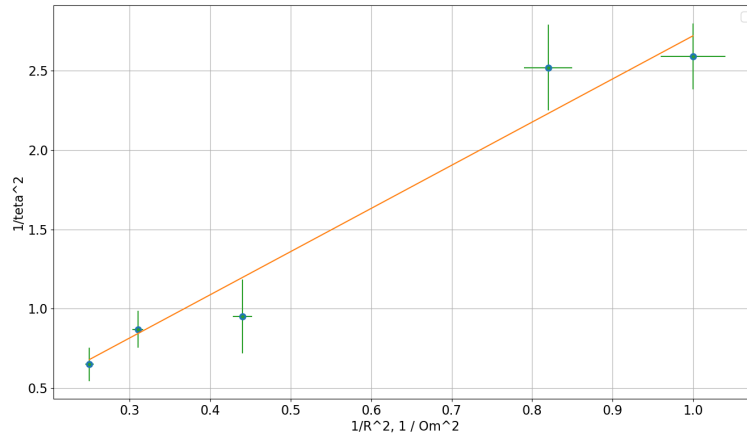
### 3.3 Свободные колебания на фазовой плоскости

Проведем аналогичные действия для спирали:

$\theta$	$n$	$U(k)$ , дел	$U(k+n)$ , дел	$R$ , кОм
0.62	4	6.00	0.50	1.00
0.63	3	3.30	0.50	1.10
1.02	4	6.00	0.10	1.50
1.07	2	3.00	0.35	1.80
1.24	2	3.00	0.25	2.00

Таблица 4: Данные 3 эксперимента

$$k = 2.37 \quad \sigma_k = 1.08 \quad \epsilon_k = 45\% \quad (35)$$



Найдем  $R_{кр}$  по графику и сравним с теоретическим значением. Из теории следует:

$$\frac{1}{\theta^2} = \frac{R_{кр}^2}{4\pi^2} \frac{1}{R^2} - \frac{1}{4\pi^2} \Rightarrow R_{кр} = 2\pi \sqrt{\frac{\Delta \frac{1}{\theta^2}}{\Delta \frac{1}{R^2}}} = 96679 \text{ Ом} \quad (36)$$

$$\sigma_{R_{кр}} = R_{кр} \sqrt{\left(\frac{\sigma_k}{2k}\right)^2} = 2202 \text{ Ом} \quad \epsilon_{R_{кр}} = 17.5\% \quad (37)$$

С Учётом погрешности результаты совпадают

Рассчитаем добротность для двух  $\Theta$  и сравним данные с теоретическим значением для минимальной  $\theta$

$$Q_{\Theta} = 5.1 \pm 0.5 \quad Q_{Theory} = 6.3 \quad \sigma_Q = 19.0\% \quad (38)$$

для  $\theta$  с  $R = 2000 \text{ Ом}$

$$Q_{\Theta} = 2.5 \pm 0.6 \quad Q_{Theory} = 2.4 \quad \sigma_Q = 4.1\% \quad (39)$$

## 4 Вывод

Итоги работы:

1. Измерен период RLC цепи с помощью осциллографа, результаты совпали с теорией с погрешностью 7.8%
2. Двумя способами измерены  $R_{кр}$  и  $Q$ . Ниже описаны эти два метода

$R_{кр}, \text{ Ом}$		
теор.	граф.	погрешность
12560	12417	12.50%
$Q$		
теор.	$f(\theta)$	погрешность
6.3	$6.2 \pm 0.2$	1.50%
2.4	$3.2 \pm 0.4$	33.30%

Таблица 5: Результаты работы методом амплитуд

$R_{кр}, \text{ Ом}$		
теор.	граф.	погрешность
12560	9667	17.50%
$Q$		
теор.	$f(\theta)$	погрешность
6.3	$5.1 \pm 0.5$	19.00%
2.4	$2.5 \pm 0.5$	4.10%

Таблица 6: Результаты работы методом спирали